

Starkniederschlagshöhen und -spenden gemäß KOSTRA-DWD-2020

Rasterfeld 179129

(Zeile 179, Spalte 129)

Regenspende und Bemessungsniederschlagswerte in Abhängigkeit von Wiederkehrzeit T und Dauerstufe D

| Dauerstufe D | | Wiederkehrzeit T | | | | | | | | | | | | | | | | | |
|--------------|-----|------------------|------------|------|------------|------|------------|-------|------------|-------|------------|-------|------------|-------|------------|-------|------------|-------|------------|
| | | 1 a | | 2 a | | 3 a | | 5 a | | 10 a | | 20 a | | 30 a | | 50 a | | 100 a | |
| min | Std | mm | l / (s ha) | mm | l / (s ha) | mm | l / (s ha) | mm | l / (s ha) | mm | l / (s ha) | mm | l / (s ha) | mm | l / (s ha) | mm | l / (s ha) | mm | l / (s ha) |
| 5 | | 6,3 | 210,0 | 7,7 | 256,7 | 8,6 | 286,7 | 9,8 | 326,7 | 11,5 | 383,3 | 13,3 | 443,3 | 14,5 | 483,3 | 16,0 | 533,3 | 18,2 | 606,7 |
| 10 | | 8,6 | 143,3 | 10,6 | 176,7 | 11,8 | 196,7 | 13,5 | 225,0 | 15,8 | 263,3 | 18,2 | 303,3 | 19,8 | 330,0 | 21,9 | 365,0 | 24,9 | 415,0 |
| 15 | | 10,0 | 111,1 | 12,4 | 137,8 | 13,8 | 153,3 | 15,8 | 175,6 | 18,5 | 205,6 | 21,3 | 236,7 | 23,2 | 257,8 | 25,6 | 284,4 | 29,1 | 323,3 |
| 20 | | 11,1 | 92,5 | 13,7 | 114,2 | 15,3 | 127,5 | 17,5 | 145,8 | 20,5 | 170,8 | 23,6 | 196,7 | 25,7 | 214,2 | 28,4 | 236,7 | 32,2 | 268,3 |
| 30 | | 12,7 | 70,6 | 15,7 | 87,2 | 17,6 | 97,8 | 20,0 | 111,1 | 23,5 | 130,6 | 27,1 | 150,6 | 29,4 | 163,3 | 32,5 | 180,6 | 36,9 | 205,0 |
| 45 | | 14,5 | 53,7 | 17,9 | 66,3 | 19,9 | 73,7 | 22,7 | 84,1 | 26,6 | 98,5 | 30,7 | 113,7 | 33,4 | 123,7 | 36,9 | 136,7 | 41,9 | 155,2 |
| 60 | 1 | 15,8 | 43,9 | 19,5 | 54,2 | 21,7 | 60,3 | 24,7 | 68,6 | 29,1 | 80,8 | 33,5 | 93,1 | 36,4 | 101,1 | 40,2 | 111,7 | 45,7 | 126,9 |
| 90 | 1,5 | 17,8 | 33,0 | 21,9 | 40,6 | 24,5 | 45,4 | 27,9 | 51,7 | 32,7 | 60,6 | 37,7 | 69,8 | 41,0 | 75,9 | 45,3 | 83,9 | 51,5 | 95,4 |
| 120 | 2 | 19,3 | 26,8 | 23,8 | 33,1 | 26,6 | 36,9 | 30,2 | 41,9 | 35,5 | 49,3 | 40,9 | 56,8 | 44,5 | 61,8 | 49,2 | 68,3 | 55,9 | 77,6 |
| 180 | 3 | 21,6 | 20,0 | 26,7 | 24,7 | 29,8 | 27,6 | 33,9 | 31,4 | 39,8 | 36,9 | 45,9 | 42,5 | 49,9 | 46,2 | 55,1 | 51,0 | 62,6 | 58,0 |
| 240 | 4 | 23,4 | 16,3 | 28,9 | 20,1 | 32,2 | 22,4 | 36,7 | 25,5 | 43,1 | 29,9 | 49,7 | 34,5 | 54,0 | 37,5 | 59,7 | 41,5 | 67,8 | 47,1 |
| 360 | 6 | 26,2 | 12,1 | 32,3 | 15,0 | 36,1 | 16,7 | 41,0 | 19,0 | 48,2 | 22,3 | 55,5 | 25,7 | 60,4 | 28,0 | 66,7 | 30,9 | 75,8 | 35,1 |
| 540 | 9 | 29,2 | 9,0 | 36,0 | 11,1 | 40,3 | 12,4 | 45,8 | 14,1 | 53,8 | 16,6 | 62,0 | 19,1 | 67,4 | 20,8 | 74,5 | 23,0 | 84,6 | 26,1 |
| 720 | 12 | 31,6 | 7,3 | 39,0 | 9,0 | 43,5 | 10,1 | 49,5 | 11,5 | 58,2 | 13,5 | 67,1 | 15,5 | 72,9 | 16,9 | 80,6 | 18,7 | 91,5 | 21,2 |
| 1080 | 18 | 35,3 | 5,4 | 43,5 | 6,7 | 48,6 | 7,5 | 55,3 | 8,5 | 64,9 | 10,0 | 74,9 | 11,6 | 81,4 | 12,6 | 89,9 | 13,9 | 102,1 | 15,8 |
| 1440 | 24 | 38,1 | 4,4 | 47,0 | 5,4 | 52,5 | 6,1 | 59,8 | 6,9 | 70,2 | 8,1 | 80,9 | 9,4 | 88,0 | 10,2 | 97,2 | 11,3 | 110,4 | 12,8 |
| 2880 | 48 | 46,0 | 2,7 | 56,7 | 3,3 | 63,3 | 3,7 | 72,1 | 4,2 | 84,6 | 4,9 | 97,6 | 5,6 | 106,1 | 6,1 | 117,2 | 6,8 | 133,1 | 7,7 |
| 4320 | 72 | 51,3 | 2,0 | 63,2 | 2,4 | 70,6 | 2,7 | 80,4 | 3,1 | 94,4 | 3,6 | 108,9 | 4,2 | 118,3 | 4,6 | 130,7 | 5,0 | 148,5 | 5,7 |
| 5760 | 96 | 55,4 | 1,6 | 68,3 | 2,0 | 76,3 | 2,2 | 86,9 | 2,5 | 102,0 | 3,0 | 117,6 | 3,4 | 127,8 | 3,7 | 141,2 | 4,1 | 160,5 | 4,6 |
| 7200 | 120 | 58,8 | 1,4 | 72,6 | 1,7 | 81,1 | 1,9 | 92,2 | 2,1 | 108,3 | 2,5 | 124,9 | 2,9 | 135,8 | 3,1 | 150,0 | 3,5 | 170,4 | 3,9 |
| 8640 | 144 | 61,8 | 1,2 | 76,2 | 1,5 | 85,1 | 1,6 | 96,9 | 1,9 | 113,8 | 2,2 | 131,2 | 2,5 | 142,6 | 2,8 | 157,5 | 3,0 | 179,0 | 3,5 |
| 10080 | 168 | 64,4 | 1,1 | 79,4 | 1,3 | 88,8 | 1,5 | 101,0 | 1,7 | 118,6 | 2,0 | 136,7 | 2,3 | 148,6 | 2,5 | 164,2 | 2,7 | 186,5 | 3,1 |

Starkniederschlagshöhen und -spenden gemäß KOSTRA-DWD-2020

Rasterfeld 179129

(Zeile 179, Spalte 129)

Örtliche Unsicherheiten in Abhängigkeit von Wiederkehrzeit T und Dauerstufe D

| Dauerstufe D | | Wiederkehrzeit T | | | | | | | | |
|--------------|-----|------------------|-----|-----|-----|------|------|------|------|-------|
| | | 1 a | 2 a | 3 a | 5 a | 10 a | 20 a | 30 a | 50 a | 100 a |
| min | Std | ± % | ± % | ± % | ± % | ± % | ± % | ± % | ± % | ± % |
| 5 | | 11 | 12 | 13 | 13 | 14 | 14 | 15 | 15 | 16 |
| 10 | | 14 | 16 | 16 | 17 | 18 | 19 | 19 | 20 | 20 |
| 15 | | 16 | 18 | 18 | 19 | 20 | 21 | 22 | 22 | 23 |
| 20 | | 17 | 19 | 20 | 21 | 22 | 22 | 23 | 23 | 24 |
| 30 | | 18 | 20 | 21 | 22 | 23 | 24 | 24 | 25 | 25 |
| 45 | | 18 | 20 | 21 | 22 | 23 | 24 | 24 | 25 | 26 |
| 60 | 1 | 18 | 20 | 21 | 22 | 23 | 24 | 24 | 25 | 25 |
| 90 | 1,5 | 18 | 20 | 21 | 22 | 23 | 23 | 24 | 24 | 25 |
| 120 | 2 | 17 | 19 | 20 | 21 | 22 | 23 | 23 | 24 | 24 |
| 180 | 3 | 16 | 18 | 19 | 20 | 21 | 22 | 22 | 23 | 23 |
| 240 | 4 | 15 | 17 | 18 | 19 | 20 | 21 | 21 | 22 | 22 |
| 360 | 6 | 14 | 16 | 17 | 18 | 19 | 20 | 20 | 20 | 21 |
| 540 | 9 | 13 | 15 | 16 | 17 | 18 | 18 | 19 | 19 | 20 |
| 720 | 12 | 13 | 14 | 15 | 16 | 17 | 17 | 18 | 18 | 19 |
| 1080 | 18 | 12 | 14 | 14 | 15 | 16 | 16 | 17 | 17 | 18 |
| 1440 | 24 | 12 | 13 | 14 | 14 | 15 | 16 | 16 | 17 | 17 |
| 2880 | 48 | 13 | 13 | 13 | 14 | 14 | 15 | 15 | 15 | 16 |
| 4320 | 72 | 13 | 13 | 14 | 14 | 14 | 15 | 15 | 15 | 15 |
| 5760 | 96 | 14 | 14 | 14 | 14 | 14 | 15 | 15 | 15 | 15 |
| 7200 | 120 | 15 | 14 | 14 | 14 | 15 | 15 | 15 | 15 | 15 |
| 8640 | 144 | 15 | 15 | 15 | 15 | 15 | 15 | 15 | 15 | 16 |
| 10080 | 168 | 16 | 15 | 15 | 15 | 15 | 15 | 15 | 16 | 16 |

Parameter für abweichende T und D

Lokationsparameter ξ (Xi)

16,24870424

Skalenparameter α (Alpha)

5,2678691

Formparameter κ (Kappa)

-0,1

1. Koutsoyiannis-Parameter θ (Theta)

0,03937117

2. Koutsoyiannis-Parameter η (Eta)

0,73101293

Parameter für dauerstufenübergreifende Extremwertschätzung nach KOUTSOYIANNIS et al. 1998.

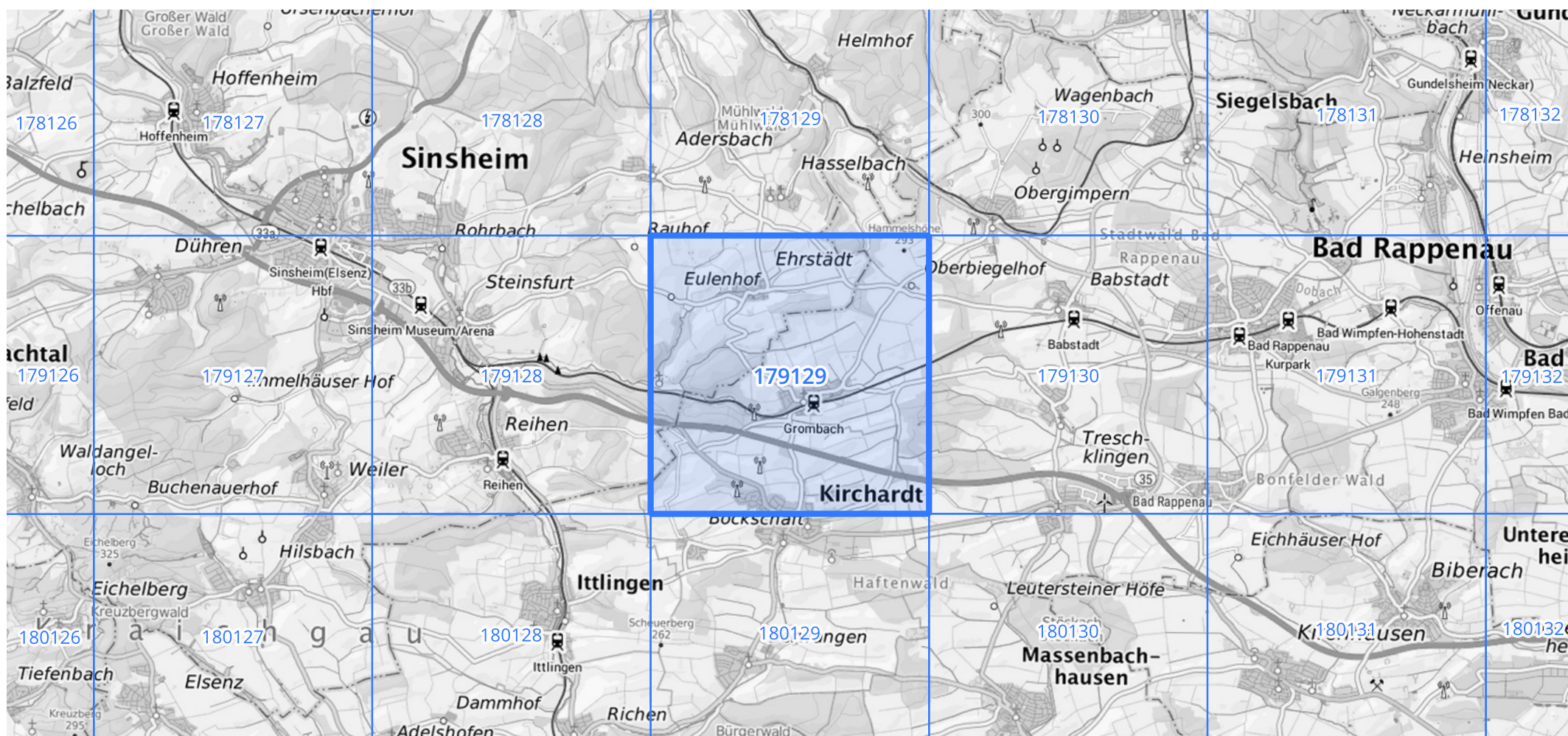
Siehe auch Anwendungshilfe zu KOSTRA-DWD-2020 des Deutschen Wetterdienstes.

Starkniederschlagshöhen und -spenden gemäß KOSTRA-DWD-2020

Rasterfeld 179129

(Zeile 179, Spalte 129)

Übersichtskarte des Rasterfeldes 179129, M 1 : 100 000



Quelle Rasterdaten: KOSTRA-DWD-2020 des Deutschen Wetterdienstes, Stand 12/2022.

Seite 3 von 3

Kartendarstellung: © Bundesamt für Kartographie und Geodäsie (2023), Datenquellen: https://sgx.geodatenzentrum.de/web_public/gdz/datenquellen/Datenquellen_TopPlusOpen.html

Für die Richtigkeit und Aktualität der Angaben wird keine Gewähr übernommen. Erstellt 01/2023.